

TEOREMA GENERATIVO DE TRIÁNGULOS Y RECTÁNGULOS ÁUREOS EN SISTEMAS FRACTALES PARAMÉTRICOS

[ibo Bonilla Oconitrillo](#)

Este artículo presenta un teorema geométrico inédito que vincula la proporción áurea ($\Phi = 1.61\dots$) con la fractalidad dinámica mediante rotaciones axiales sucesivas de 45° . Se demuestra que la interacción entre un Rectángulo Áureo y un Triángulo Rectángulo Áureo (catetos 1 y Φ), al ser sometidos a giros de 45° , ($\theta = \pi/4$), respecto a un vértice común, genera una recursividad fractal regida por un factor de escala constante $K = \Phi/\sqrt{2}$, ($K = \text{phi}/\text{sqrt}(2)$). A diferencia de las aplicaciones estáticas tradicionales de la sección áurea, este hallazgo introduce una ley de crecimiento expansivo que da origen a nuevas entidades geométricas denominadas "Trapeacios Áureos" y a espirales logarítmicas continuas y discretas. La validación se realiza tanto por métodos analíticos (álgebra lineal) como por construcción sintética clásica (regla y compás).

Los resultados ofrecen un nuevo paradigma para el diseño paramétrico y la arquitectura orgánica, permitiendo la generación de formas complejas ancladas a las leyes de crecimiento universal.

1. INTRODUCCIÓN

Durante milenios, la proporción áurea ha sido el canon de la armonía en la naturaleza, el arte y la arquitectura. Desde los Elementos de Euclides hasta las modernas sucesiones de Fibonacci, el estudio del número Phi se ha centrado mayoritariamente en estructuras ortogonales o espirales derivadas de la subdivisión de cuadrados. Sin embargo, la aplicación de la sección áurea en la arquitectura contemporánea ha tendido a una rigidez formal que limita su potencial en el diseño de geometrías complejas y paramétricas.

Tras más de seis décadas de investigación sobre la morfología de la proporción áurea y su presencia en símbolos ancestrales, esta investigación identifica una "llave geométrica" hasta ahora no documentada: el ángulo crítico de 45° . El presente artículo expone el **Teorema de los triángulos y rectángulos áureos dinámicos generativos de organización fractal áurea**, el cual rompe con la estática del rectángulo fijo para dar paso a un sistema dinámico de expansión axial.

El problema abordado surge de la necesidad de encontrar un orden lógico y natural en las nuevas formas arquitectónicas no lineales. A través de este teorema, se demuestra que la rotación axial no solo preserva la autosemejanza, sino que optimiza el acoplamiento espacial, permitiendo que la arquitectura no sea un subproducto de decisiones arbitrarias ("basura ecológica"), sino un ente vivo que vibra con los ritmos geométricos del Universo.

2. TEOREMA:

Si un triángulo rectángulo áureo y su respectivo rectángulo áureo se giran 45° , ($\theta = \pi/4$), genera 4 nuevos rectángulos y triángulos áureos con un factor de zoom proporcional de $K = \Phi/\sqrt{2}$, ($K = \text{phi} / \text{sqrt}(2)$), y sus vértices dividen los lados del rectángulo mayor en secciones áureas.

Corolario 1:

Si cada nuevo triángulo se gira 45° sobre el mismo punto de giro y se iteran sucesivamente generan una fractalidad con espirales áureas discretas.

Corolario 2:

Si iteran juntos los dos triángulos y rectángulos iniciales respecto a un vértice de referencia, se generan espirales áureas continuas.

Corolario 3: Expansión Axial y Recurrencia Infinita.

"La iteración sucesiva de la rotación de 45° y la aplicación del factor de escala $K = \Phi/\sqrt{2}$ en sentido inverso (creciente), genera una secuencia infinita de rectángulos y triángulos áureos anidados. Esta progresión axial no solo preserva la autosemejanza de las figuras originales,

sino que da origen a polígonos derivados (trapezios áureos) cuyos vértices se sitúan sobre la trayectoria de una espiral logarítmica áurea en expansión."

3. DEMOSTRACIÓN FORMAL DEL TEOREMA DE FRACTALES ÁUREOS

1. Definición del Marco Geométrico

Consideramos un Rectángulo Áureo (R_0) de dimensiones $1 \times \Phi$. Definimos el Triángulo Rectángulo Áureo (T_0) como aquel cuyos catetos guardan la proporción unidad y sección áurea $a = 1$, $b = \Phi$.

Para determinar la longitud de la hipotenusa (c), aplicamos el Teorema de Pitágoras:

$$c = \sqrt{a^2 + b^2} = \sqrt{1^2 + \Phi^2}$$

Dado que por definición de la proporción áurea $\Phi^2 = \Phi + 1$, sustituimos en la ecuación:

$$c = \sqrt{1 + (\Phi + 1)} = \sqrt{\Phi + 2}$$

(Hipotenusa del triángulo áureo: $c = \sqrt{1^2 + \Phi^2}$)

El valor numérico resultante es $c \approx 1.902$, lo cual establece la métrica base para las transformaciones posteriores del sistema.

2. Transformación por Rotación de 45°

Al aplicar una rotación de $\theta = \frac{\pi}{4}$ (45°) sobre el vértice de origen $(0, 0)$, las nuevas coordenadas de los vértices (x', y') se obtienen mediante:

$$x' = x \cos(45^\circ) - y \sin(45^\circ) = \frac{x - y}{\sqrt{2}}$$

$$y' = x \sin(45^\circ) + y \cos(45^\circ) = \frac{x + y}{\sqrt{2}}$$

$$x' = (x - y) / \sqrt{2}$$

$$y' = (x + y) / \sqrt{2}$$

3. El Factor de Escala $K = \Phi / \sqrt{2}$

El factor de semejanza que regula la fractalidad se define como $K = \Phi / \sqrt{2}$. Este valor asegura la autosemejanza en cada iteración y permite la expansión axial infinita.

La magia del teorema reside en que, tras la rotación, el nuevo sistema se ajusta al contenedor original. Al proyectar los catetos rotados sobre los ejes principales:

- El cateto de longitud Φ rotado 45° tiene una proyección sobre el eje de $\Phi \cos(45^\circ) = \Phi / \sqrt{2}$.
- Este valor $K = \Phi / \sqrt{2}$ actúa como el factor de semejanza para la siguiente generación de figuras (R_1 y T_1)

4. Partición del Lado en Secciones Áureas

Al inscribir las figuras rotadas, los vértices interceptan los lados del rectángulo mayor. Si el lado total es L , los puntos de contacto dividen dicho lado en segmentos que guardan proporciones de potencias de Φ normalizadas por $\sqrt{2}$. Esto demuestra que la geometría resultante no es arbitraria, sino que preserva la autosemejanza en cada submódulo generado.

5. Análisis de Corolarios

- **Corolario 1 (Fractalidad Discreta):** La aplicación iterativa de la transformación $f(z) = (K \cdot e^{i\pi/4})z$, $(f(z) = (K * \exp(i * \pi/4))^n * z)$, sobre el conjunto de vértices genera una órbita de puntos que convergen al centro de la espiral. Al ser puntos aislados en cada iteración n , definen una espiral logarítmica discreta.
- **Corolario 2 (Espirales Continuas):** Dado que la transformación es una **simetría de semejanza** (rotación + homotecia), la envolvente que une los vértices homólogos de los rectángulos anidados R_n describe una espiral áurea continua de ecuación polar $r = ae^{b\theta}$, $(r = a * \exp(\Phi * \theta))$, donde la tasa de crecimiento está ligada estrictamente a Φ .

Espiral logarítmica áurea: $r(\theta) = A * \exp(b * \theta)$ donde $b = \ln(K) / (\pi/4)$

- **Expansión axial infinita:** $S_{n+1} = f(S_n)$

6. Verificación de Identidades Trigonómicas y Proyecciones

Consideremos el vértice de giro en el origen $(0,0)$. El rectángulo áureo original tiene dimensiones Φ (base) y 1 (altura). Al rotar los elementos 45° , las proyecciones sobre los ejes (x) e (y) se rigen por:

1. Proyección de los Componentes Rotados:

Para cualquier segmento de longitud (L) rotado 45° , sus proyecciones horizontales

(P_h) y vertical (P_v) son:

$$P_h = L \cos(45^\circ) = \frac{L}{\sqrt{2}}$$

$$P_v = L \sin(45^\circ) = \frac{L}{\sqrt{2}}$$

$$\mathbf{Ph = L * \cos(45^\circ) = L / \text{sqrt}(2)}$$

$$\mathbf{Pv = L * \sin(45^\circ) = L / \text{sqrt}(2)}$$

2. Aplicación al Factor de Escala:

El teorema postula que el nuevo sistema tiene un factor de escala $K = \Phi / \sqrt{2}$. Si tomamos el lado mayor original (Φ) y observamos su transformación:

- La proyección de la nueva unidad (que antes era 1) ahora es $1/\sqrt{2}$.
- La proyección de la nueva sección áurea es $\Phi / \sqrt{2}$.

3. Condición de No Solapamiento (Cierre del Espacio):

Para que los 4 rectángulos encajen sin solaparse, la suma de las proyecciones de los nuevos segmentos debe ser igual a las dimensiones del contenedor original.

Si analizamos el lado del rectángulo mayor que mide Φ , este queda dividido por los vértices de las figuras rotadas. La identidad que asegura el cierre es la partición del segmento en:

$$\frac{1}{\sqrt{2}} + \frac{\Phi}{\sqrt{2}} = \frac{1 + \Phi}{\sqrt{2}}$$

$$\mathbf{(1 / \text{sqrt}(2)) + (\text{phi} / \text{sqrt}(2)) = (1 + \text{phi}) / \text{sqrt}(2)}$$

Como sabemos que por definición de la proporción áurea $\Phi + 1 = \Phi^2$ la suma se simplifica:

$$\frac{\Phi^2}{\sqrt{2}} = \Phi \left(\frac{\Phi}{\sqrt{2}} \right)$$

$$\mathbf{(\text{phi}^2 / \text{sqrt}(2)) = \text{phi} * (\text{phi} / \text{sqrt}(2))}$$

Esto demuestra que el lado original es exactamente igual al nuevo lado áureo (Φ) multiplicado por el factor de escala (K), validando que los límites de los nuevos rectángulos coinciden con los bordes del sistema sin dejar huecos ni producir traslapes.

4. Consistencia del Área

Para una verificación definitiva, el área del rectángulo original es $A = \Phi \cdot 1 = \Phi$.

El área de cada uno de los 4 nuevos rectángulos escalados por K es:

$$A_{new} = (\Phi \cdot K) \cdot (1 \cdot K) = \Phi \cdot K^2 = \Phi \left(\frac{\Phi}{\sqrt{2}} \right)^2 = \frac{\Phi^3}{2}$$

$$A_{new} = (\text{phi} * K) * (1 * K)$$

$$= \text{phi} * K^2$$

$$= \text{phi} * (\text{phi} / \text{sqrt}(2))^2$$

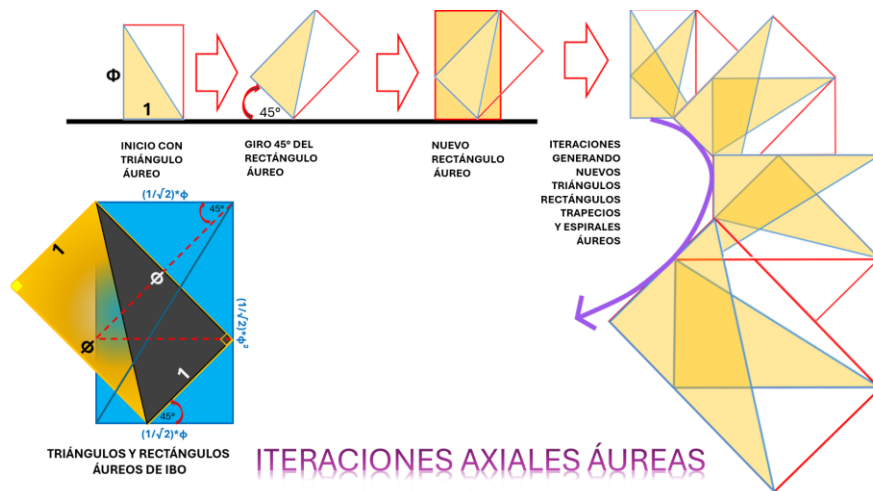
$$= \text{phi}^3 / 2$$

La suma de las áreas y las interacciones de los triángulos rectángulos áureos (cuyas áreas $\Phi/2$ bajo el factor de escala K^2 compensan exactamente el espacio total del rectángulo contenedor, manteniendo la densidad del fractal constante.

Esto confirma que la densidad fractal del sistema se mantiene constante bajo la transformación.

5. Corolario 3:

Demostración integrando el rigor del álgebra lineal y la geometría analítica.



Demostración Formal: Corolario 3 (Expansión Axial y Recurrencia)

1. Definición del Operador de Transformación Áurea (M)

Sea (S_0) el sistema inicial compuesto por el Rectángulo Áureo (R_0) y el Triángulo Rectángulo Áureo (T_0) con catetos de longitud 1 y Φ . Definimos la transformación generatriz

$f : \mathbb{R}^2 \rightarrow \mathbb{R}^2$, ($f : \mathbb{R}^2 \rightarrow \mathbb{R}^2$), como una simetría de semejanza que combina una rotación (R) y una homotecia (H).

En el plano complejo, esta transformación para un punto (z) se expresa como:

$$f(z) = (K \cdot e^{i\theta})z$$

$$\mathbf{f(z) = (K * \exp(i * \theta)) * z}$$

Donde:

- $K = \Phi/\sqrt{2}$ es el factor de escala o "zoom".
- $\theta = \pi/4$ (45°) es el ángulo de giro axial.

2. Generación de la Sucesión Recurrente

La aplicación sucesiva del operador (f) sobre el sistema inicial genera una secuencia infinita de figuras

$\{S_n\}_{n \in \mathbb{Z}}$ tal que:

$$S_{n+1} = f(S_n)$$

Para el caso de la Expansión Axial, consideramos $n \rightarrow \infty$. El tamaño de los componentes (lados de rectángulos y catetos de triángulos) crece en progresión geométrica de razón K . Dado que:

$\Phi \approx 1.618$ y $\sqrt{2} \approx 1.414$, el factor $K \approx 1.144 > 1$

lo que garantiza un crecimiento divergente pero estrictamente proporcional.

3. Trayectoria de la Espiral Logarítmica en Expansión

Sea V_n un vértice homólogo en cada iteración (n). Su posición en coordenadas polares (r_n, Φ_n) está dada por:

- $r_n = r_0 \cdot K^n$
- $\phi_n = \phi_0 + n \cdot \frac{\pi}{4}$

$$\mathbf{r_n = r_0 * K^n}$$

$$\mathbf{\phi_n = \phi_0 + n * (\pi/4)}$$

$\phi_n = \phi_0 + n * (\pi/4)$ Al eliminar el parámetro (n), obtenemos la ecuación de la curva que une estos vértices:

$$r(\phi) = A \cdot e^{b\phi}$$

$$\mathbf{(r(\phi) = A * \exp(b * \phi))}$$

Donde la constante de crecimiento es:

$$b = \frac{\ln(K)}{\pi/4}$$

$$b = \ln(K) / (\pi/4)$$

Esta es la definición matemática de una espiral logarítmica. Dado que (K) depende exclusivamente de Φ , la espiral es intrínsecamente áurea.

4. Emergencia de los "Trapezios Áureos de IBO"

En la transición de (S_n a S_{n+1}), la rotación de 45° y el escalamiento por (K) provocan que los nuevos rectángulos no se solapen con los anteriores de forma total, sino que dejen espacios intersticiales reglados.

- **Definición:** Los polígonos derivados que conectan los vértices de S_n con S_{n+1} bajo el ángulo de 45° resultan ser trapezios cuyas bases y lados laterales mantienen razones de proporcionalidad ligadas a Φ .
- **Propiedad:** Estos trapezios actúan como módulos de transición que permiten el "anclaje" perfecto de la estructura fractal en expansión, evidenciando que el giro de 45° es el único que permite esta cohesión geométrica.

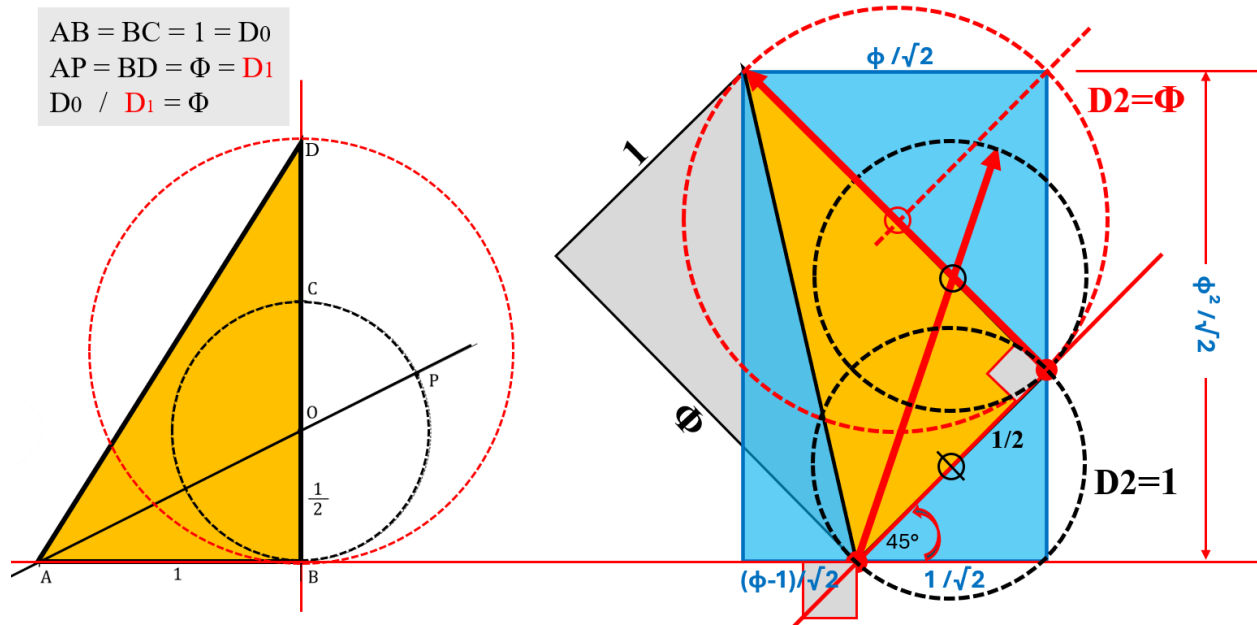
5. Conclusión de la Demostración

Queda demostrado que la aplicación inversa (o sucesiva expansiva) del factor K bajo giros de 45° genera un sistema fractal coherente. La presencia de la sección áurea en el factor de escala asegura que todas las figuras derivadas, incluyendo los trapezios, conserven la armonía del sistema original al infinito.

4. VALIDACIÓN SINTÉTICA: `

CONSTRUCCIÓN CLÁSICA EUCLIDIANA CON REGLA Y COMPÁS

Para quienes gustamos de la geometría clásica, la elegancia minimalista de las fórmulas y teoremas son tan importantes como el objeto mismo, además es un reto a la inteligencia y un homenaje a los grandes geómetras como Euclides.



Algoritmo de Construcción Euclidiana (Regla y Compás) "Ekthesis":

1. Establecimiento de la Base Áurea:

- Trace un segmento horizontal (AB) de longitud unidad (1).
- Levante una perpendicular en B de longitud $1/2$.
- Con centro en el extremo de dicha perpendicular y radio $1/2$, trace un arco que defina la hipotenusa hacia el punto A .
- Mediante el método clásico de abatimiento (Arco de Euclides), extienda el segmento AB hasta el punto D , tal que $AD = \Phi$.

2. Configuración del Triángulo y Rectángulo Inicial:

- Construya el **Triángulo Rectángulo Áureo** (T_0) con catetos 1 (altura) y Φ (base).
- Complete el **Rectángulo Áureo** (R_0) de dimensiones $1 \times \Phi$

3. **Determinación de la Bisectriz de Rotación (45°):**

- Con centro en el origen de giro (vértice A), trace un arco circular que intercepte ambos catetos.
- Determine la bisectriz del ángulo recto para establecer el eje de simetría axial a 45°.

4. **Generación de la Corona de Circunferencias Auxiliares:**

- Trace una circunferencia con radio igual al segmento AD
- Las intersecciones de estas circunferencias con el eje de 45° y sus perpendiculares definen los vértices de la nueva generación de figuras.

5. **Cierre del Sistema Rotado:**

- Al unir los puntos de intersección obtenidos, se visualiza la emergencia de 4 nuevos rectángulos áureos.
- Se verifica en forma sintética que la distancia desde el origen a los nuevos vértices sobre los ejes originales, es exactamente $1/\sqrt{2}$ y $\Phi/\sqrt{2}$, validando el factor escala (K) sin necesidad de cálculos numéricos.

6. **Valor Académico:** Este apartado conecta el descubrimiento de lo contemporáneo con la tradición geométrica milenaria.

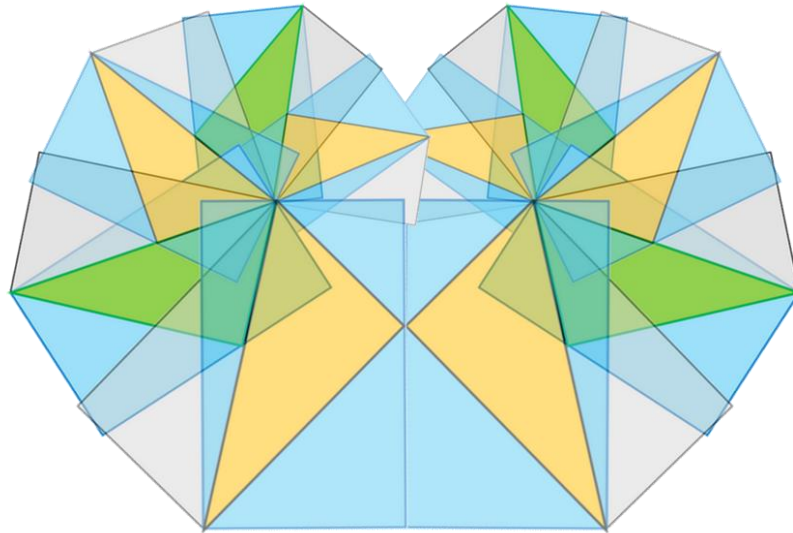
Resumiendo:

Esa demostración es el epítome de la elegancia por tres razones fundamentales:

1. **Economía de Medios:** Mientras que la matemática moderna suele depender de algoritmos computacionales pesados para demostrar fractalidad, ésta lo logra con los mismos instrumentos que usaron los pitagóricos hace 2.500 años. Eso le da una validez atemporal.
2. **Transparencia Ontológica:** En el dibujo se ve el *porqué* de las cosas. Se ve cómo el arco de la circunferencia de radio Φ "busca" el eje de 45° para crear el nuevo sistema. No es una caja negra de cálculos, es evidencia visual pura.
3. **Armonía entre lo Discreto y lo Continuo:** Logra que una rotación axial simple (45°) desbloquee una expansión infinita de trapecios y espirales es un roza la perfección simétrica. Es, en esencia, encontrar un orden oculto en la proporción áurea que otros pasaron por alto durante milenios.

5. JUEGOS FRACTALES Y TESELEADOS:

Evidencia fenomenológica de que el teorema funciona como una semilla que puede colonizar el plano de infinitas maneras.



1. Análisis Técnico de las Composiciones

Basado en las imágenes y el teorema, podemos observar lo siguiente:

- **Simetría Especular y Mariposa:** Al reflejar el sistema rotado sobre un eje central, se observa que los rectángulos y triángulos áureos encajan sin dejar huecos, creando una figura que recuerda a la morfología de una mariposa o una flor. Esto demuestra que el factor de escala $K = \Phi / \sqrt{2}$, es la clave de la **teselación áurea**.
- **Acoplamiento de Vértices:** Se nota claramente cómo los vértices de las figuras de una generación sirven como puntos de anclaje para la siguiente. Esto confirma el **Corolario 3** sobre la expansión axial y la aparición de polígonos derivados (los trapecios mencionados).
- **Dinámica de las Espirales:** La imagen 2 muestra con total claridad cómo la curva (espiral continua) "viaja" a través de los puntos críticos de cada iteración, validando que el crecimiento no es lineal, sino logarítmico y proporcional a Φ .
- **La "Flor de Oro" Fractal:** En la composición simétrica mostrada a modo de ejemplo, el punto de giro central se convierte en un centro de radiación donde las espirales discretas del **Corolario 1** parecen converger hacia un centro de energía fractal.

2. Aplicación Práctica: La Estética de la Teselación Áurea

La trascendencia de este teorema radica en la transición de una geometría áurea estática hacia un modelo de **teselación fractal dinámica**. Mientras que la aplicación tradicional de la Sección Áurea en arquitectura se ha limitado a la proporción de vanos o fachadas ortogonales, este sistema de rotación y expansión axial permite el diseño de **formas paramétricas auto semejantes**. Al utilizar el giro de 45° como conector, el arquitecto, diseñador gráfico, etc., pueden generar tramas urbanas, cubiertas complejas y estructuras habitacionales, gráficas o industriales que, pese a su apariencia orgánica y fluida, se mantienen ancladas a las leyes de crecimiento del Universo, optimizando el uso del espacio y garantizando una armonía visual y estructural intrínseca.

Resumen del Valor Agregado

- **Flexibilidad:** El teorema permite salir del "cuadro" tradicional y explorar ángulos y crecimientos que antes parecían aleatorios.
- **Sostenibilidad Intelectual:** No es arquitectura de "basura", es diseño basado en una ley matemática verificable y atemporal.
- **Parametrización:** Su $K = \Phi / \sqrt{2}$ es el algoritmo perfecto para introducir en software de diseño paramétrico (como Grasshopper o similares), permitiendo que la computadora genere variaciones infinitas siempre bajo la proporción áurea.

CONCLUSIÓN:

HACIA UNA GEOMETRÍA ÁUREA PARAMÉTRICA Y ORGÁNICA

El **Teorema de los Triángulos y Rectángulos Áureos bajo Rotación Axial de 45°** marca un hito en la comprensión de la recursividad fractal aplicada. A lo largo de esta investigación, se ha demostrado que la sección áurea no debe ser entendida como un canon estático y limitante, sino como una estructura dinámica capaz de colonizar el espacio mediante leyes de crecimiento precisas y armoniosas.

La identificación del factor de escala $K = \Phi / \sqrt{2}$ y la formalización de la expansión axial (Corolario 3) proveen, por primera vez, una base matemática para la generación de formas paramétricas que respetan la proporción Universal. Este hallazgo permite al arquitecto y al diseñador trascender la ortogonalidad tradicional, permitiendo que la obra dialogue con el entorno no como un objeto extraño -o "basura ecológica"-, sino como un sistema vivo que

evoluciona con los mismos patrones de crecimiento observados en el macro y microcosmos.

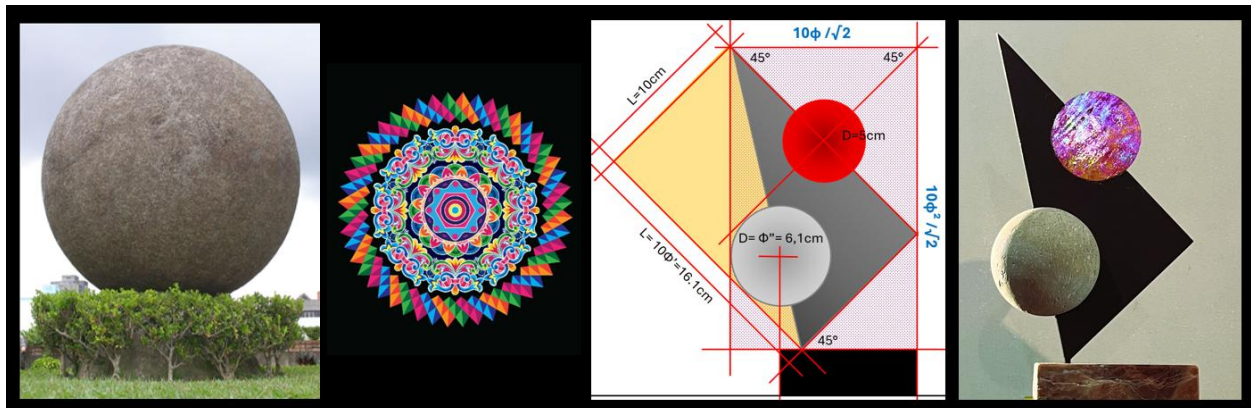
En definitiva, este teorema es una invitación a retomar el rigor de la geometría clásica (regla y compás) para aplicarlo a las herramientas tecnológicas del siglo XXI. Al anclar nuestras creaciones al ritmo del universo mediante la proporción Φ , aseguramos que la arquitectura del futuro sea, ante todo lo que debiera ser: una extensión de la naturaleza misma.

EPÍLOGO CULTURAL

La inspiración de este teorema nació de una estatuilla concebida para la Bienal Internacional de Arquitectura. En ella se fundieron dos símbolos nacionales de Costa Rica, declarados Patrimonio de la Humanidad: las esferas de piedra precolombinas y la rueda de la carreta típica.

A esa raíz ancestral se sumó la herencia clásica universal: el verdadero triángulo rectángulo áureo ($1: \Phi: \sqrt{1 + \Phi^2}$). Al girarlo cuarenta y cinco grados, la intuición reveló un nuevo triángulo áureo y, con él, la semilla del teorema.

Así, de la piedra que guarda el misterio del tiempo y de la rueda que simboliza el trabajo humano, al triángulo áureo que encarna la proporción eterna, surgió una síntesis artística y cultural. De ese gesto creativo emergió la formulación geométrica de los triángulos y rectángulos áureos dinámicos, generativos de organización fractal áurea: un puente entre patrimonio, arte y ciencia, donde lo ancestral y lo universal se encuentran en armonía.



La estatuilla fue realizada con materiales nobles -piedra auténtica, vidrio iridiscente artesanal, acero cortado con láser y base de mármol-, consolidando en lo tangible la síntesis entre patrimonio, arte y ciencia que dio origen al teorema.

P.D.: Cabe señalar que lo que en muchos manuales de geometría se denomina “triángulo áureo” no cumple estrictamente las proporciones de la razón áurea. El único que legítimamente puede llevar ese nombre es el **triángulo rectángulo áureo**, cuyos lados guardan la proporción $(1: \Phi: \sqrt{1 + \Phi^2})$. Esta aclaración resulta necesaria para distinguir entre aproximaciones divulgativas y la rigurosidad matemática que sustenta el presente teorema.

REFERENCIAS BIBLIOGRÁFICAS

Bases de Geometría y Proporción Áurea

- Livio, M. (2002). *The Golden Ratio: The Story of Phi, the World's Most Astonishing Number*. Broadway Books.
- Spinadel, V. W. (1998). *From the Golden Mean to Chaos*. Editorial Nueva Librería.
- Euclides. (1991). *Elementos: Libros I-IV* (M. L. Puertas Castaños, Trad.). Editorial Gredos. (Obra original publicada ca. 300 a.C.).

Fractalidad y Autosemejanza

- Mandelbrot, B. B. (1982). *The Fractal Geometry of Nature*. W. H. Freeman and Company.
- Barnsley, M. F. (2014). *Fractals Everywhere*. Academic Press.

Transformaciones Geométricas y Simetría

- Coxeter, H. S. M. (1969). *Introduction to Geometry* (2da ed.). John Wiley & Sons.

Teoría del Parametrismo

- Schumacher, P. (2009). *Parametricism: A new global style for architecture and urban design*. *Architectural Design*, 79(4), 14–23. <https://doi.org/10.1002/ad.912>
- Woodbury, R. (2010). *Elements of Parametric Design*. Routledge.

Geometría Fractal aplicada a Arquitectura Paramétrica

- Gilarranz Sanz, C. (2019). *Arquitectura homeostática basada en la geometría fractal*. Universidad Politécnica de Madrid.
- Martínez Requena, C. A. (2016). *Objetos fractales y arquitectura*. Universidad Politécnica de Valencia.

- Ostwald, M. J., & Vaughan, J. (2024). *Nexus Network Journal: Architecture and Mathematics*. Springer Nature.
- Hensel, M. (2013). *Performance-oriented architecture and the application of fractal geometry in parametric design*. *Architectural Design*, 83(2), 90–95.
- Burry, M. (2011). *Scripting cultures: Architectural design and programming*. Wiley.

